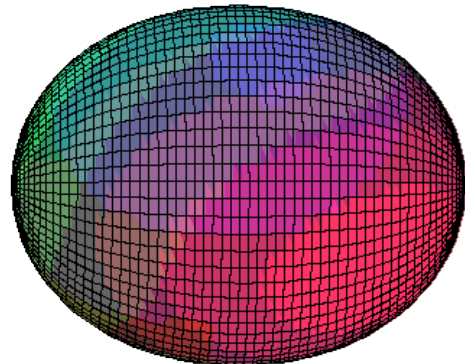


## JEDNOČESTIČNI MODEL LJUSAKA ZA DEFORMIRANE JEZGRE



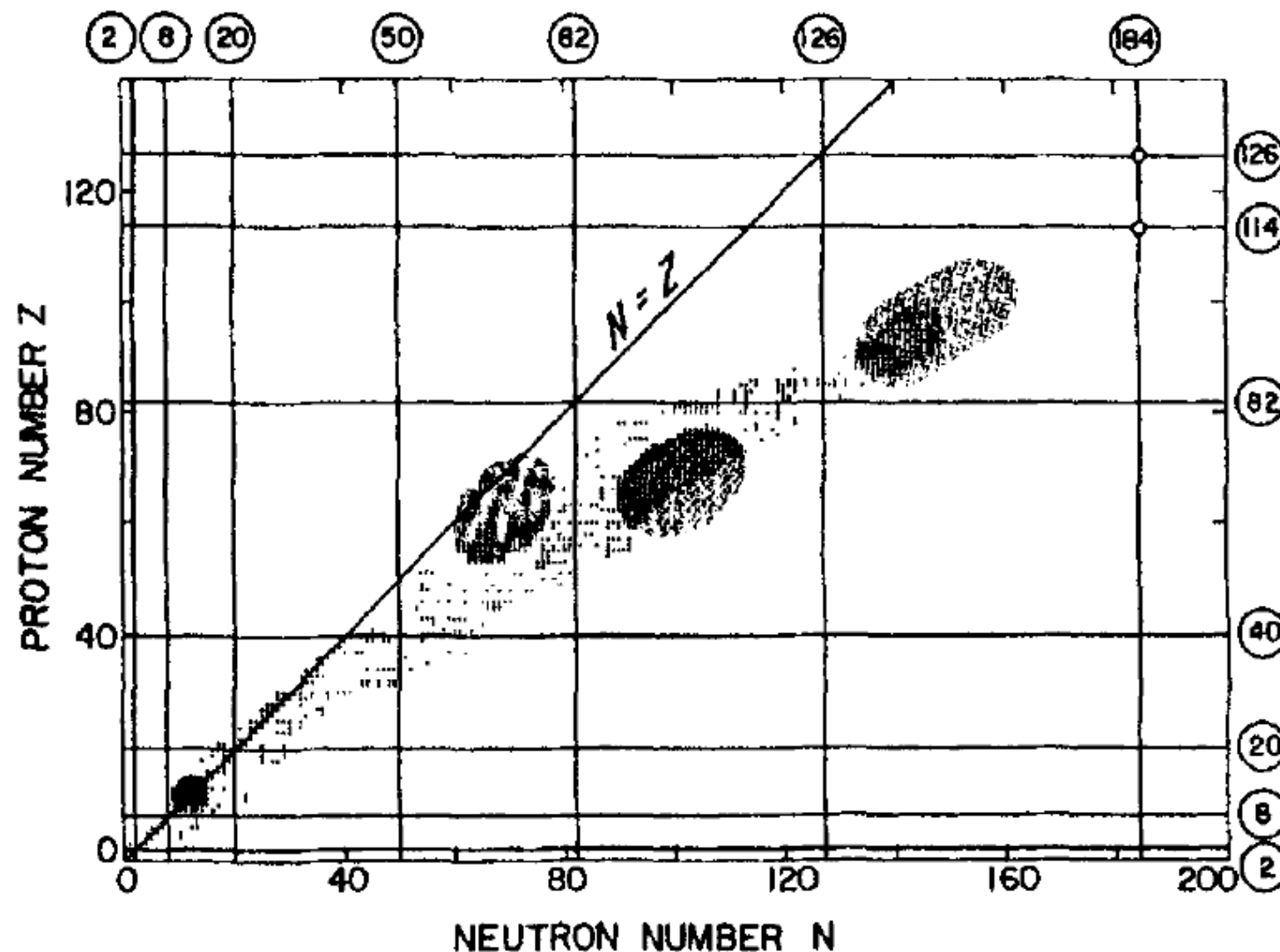
Osnovna pretpostavka modela lјusaka i svih mikroskopskih modela jezgre je koncept gotovo nezavisnog gibanja nukleona u srednjem efektivnom potencijalu.

U najjednostavnijem slučaju potencijalna jama je sferno-simetrična. To je strogo ispunjeno samo za jezgre s punim lјuskama (ili približno oko punih lјusaka).

Kada su sva jednočestična stanja pojedine lјuske popunjena, ukupna projekcija spina duž osi kvantizacije  $M=0$ . U tom slučaju je jezgra invarijantna na rotaciju koordinatnog sustava, dakle, sferičnog je oblika. To nije slučaj kod jezgre s djelomično popunjrenom lјuskom → deformacija

Svojstvena stanja Hamiltonijana za sferični model lјusaka određena su kvantnim brojevima  $N, I, j, m$ , koji ostaju dobri kvatni brojevi za deformirane jezgre samo u slučaju malih deformacija.

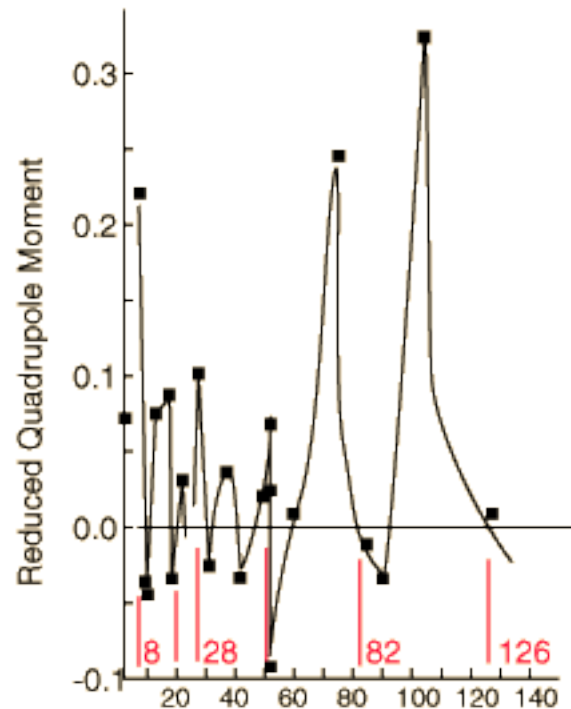
Područja deformacije u mapi nuklida nalaze se između zatvorenih ljudsaka, posebice područja  $150 \leq A \leq 190$  i  $A > 230$ .



Za jezgre u kojima je i broj protona i broj neutrona daleko od punih ljesaka, mjerena svojstva osnovnih i pobuđenih stanja ukazuju na deformaciju jednočestičnog potencijala.

### EKSPERIMENTALNE EVIDENCIJE:

**1) KVADRUPOLNI MOMENTI:** izmjereni preko različitih područja masa.



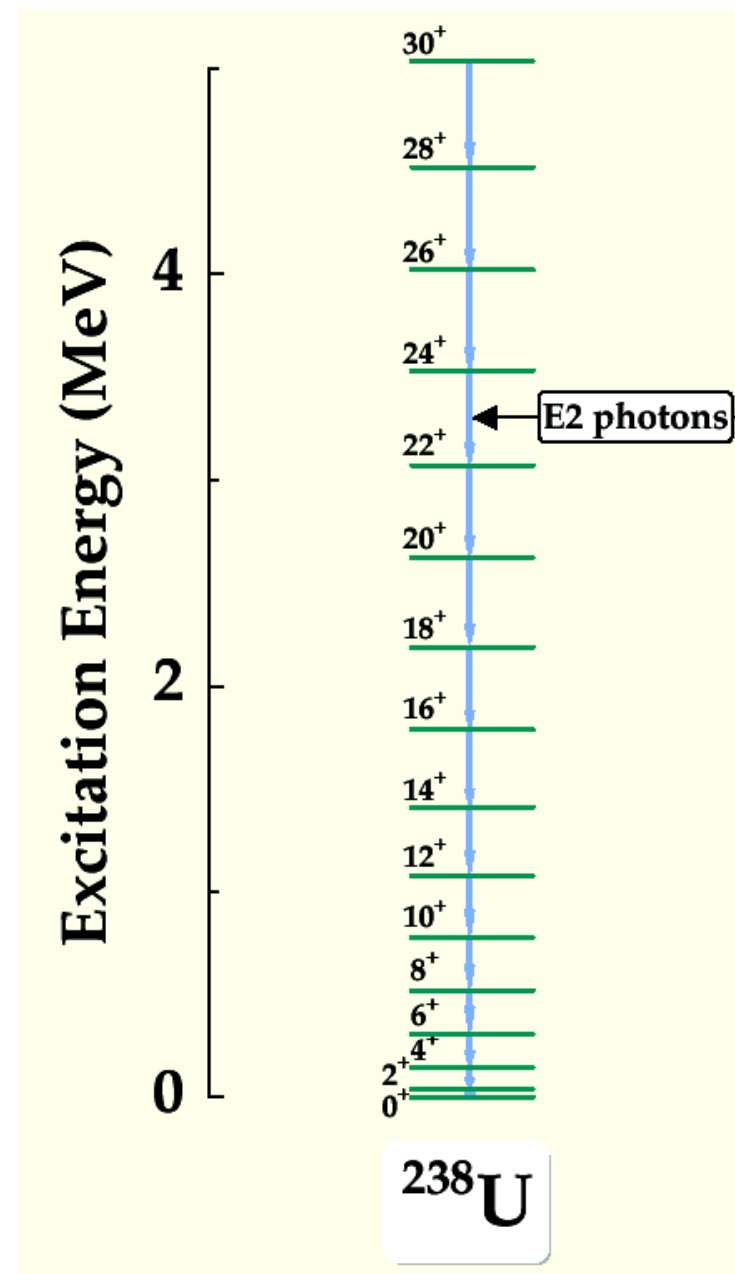
Sferno-simetrični jednočestični potencijal ne može objasniti postojanje velikih kvadrupolnih momenata. Iz mjerениh spektroskopskih vrijednosti moguće je izračunati intrinsične kvadrupolne momente i pripadne parametre deformacije.

Većina deformiranih jezgara su **dvoosni elipsoidi** pozitivne deformacije (oblik masline). Tek pojedine jezgre moguće bi biti troosni elipsoidi.

2) **ROTACIONE VRPCE**: U područjima mase  $A \approx 80$ ,  $150 < A < 190$  i  $A > 220$  u spektrima pobuđenih stanja pojavljuju se izražene rotacione vrpce. Energija pobuđenja u tim vrpcama:

$$E_J \sim J(J + 1)$$

Kolektivne rotacione vrpce ukazuju na stabilnu deformaciju jezgre.



### 3) Velike vrijednosti reduciranih vjerojatnosti prijelaza za kvadrupolne električne prijelaze

B(E2) vrijednosti su u slučajevima grupe deformiranih jezgara veće za više od dva reda veličine od jednočestičnih reduciranih vjerojatnosti prijelaza.

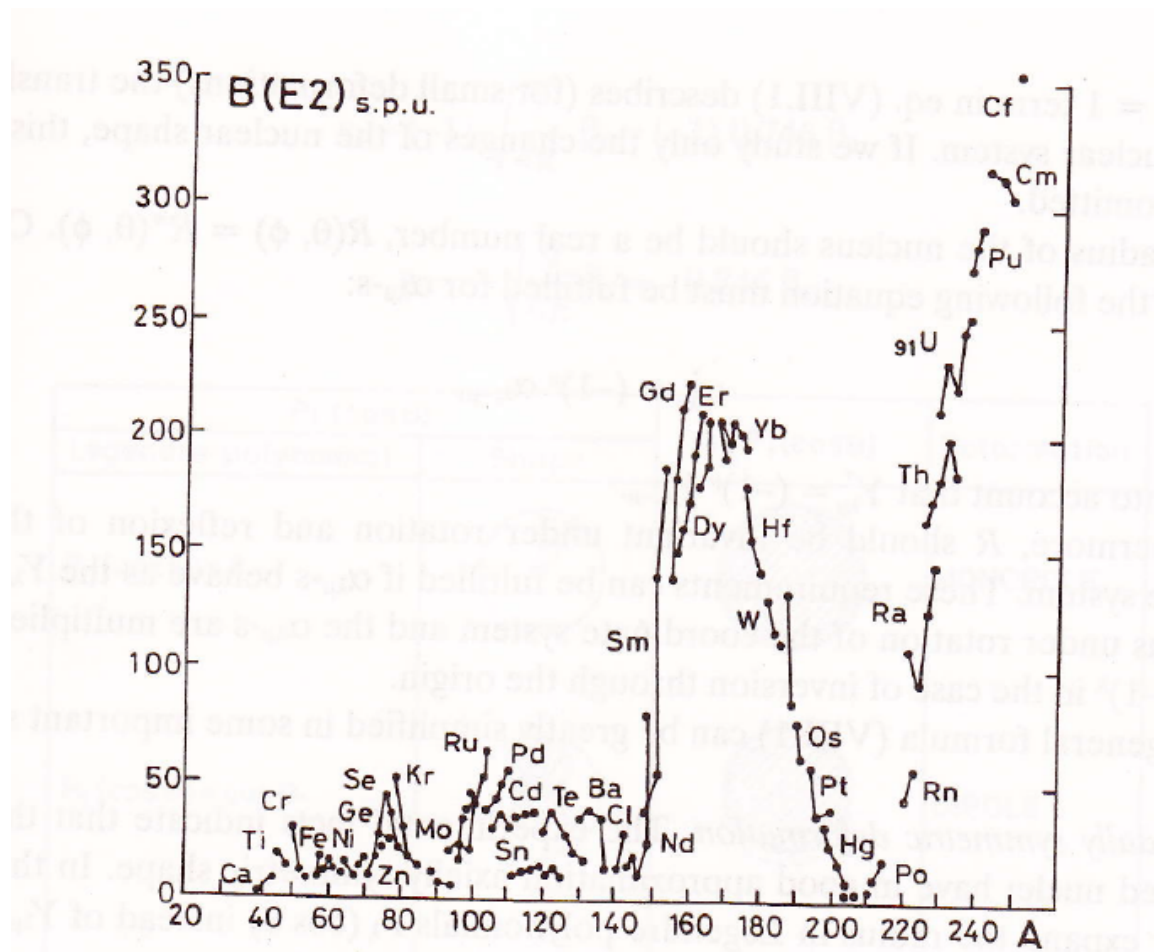
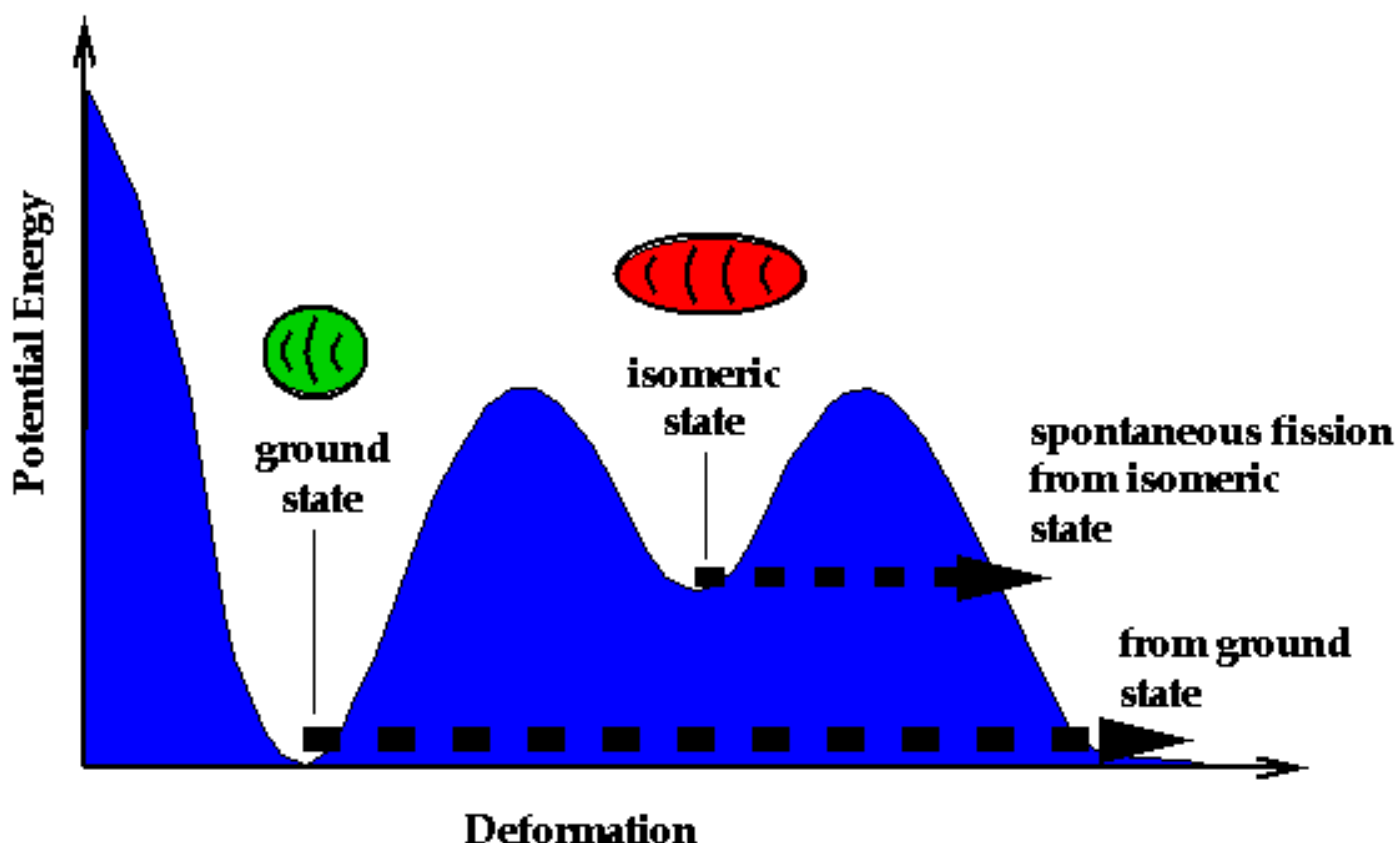


Fig. VIII. 1. Reduced  $B(E2; 0_1^+ \rightarrow 2_1^+)$  transition probabilities in even-even nuclei (in single particle units). Based on [Soloviev 1981].

4) **FISIONI IZOMERI**: u nekim od najtežih jezgara opažena su stanja ekstremno dugih poluživota  $T_{1/2} \approx 1$  msek, s jako velikim vrijednostima deformacije. Na tim su stanjima izmjerene rotacione vrpce i određeni momenti inercije.



## OPĆENITI DEFORMIRANI POTENCIAL

Iz prethodno navedenih eksperimentalnih evidencija o deformaciji jezgre može se zaključiti da je potreban deformirani srednji nuklearni potencijal.

Zbog kratkog dosega nuklearne interakcije ( $\approx 1 \text{ fm}$ ) u usporedbi s dimenzijama jezgre, oblik potencijala slijedit će raspodjelu nukleona u jezgri.

Analogno sferičnom slučaju, uvodi se jednočestični Woods-Saxon deformirani potencijal:

$$V(r, \theta, \phi) = -V_0 \left[ 1 + \exp\left(\frac{r-R(\theta, \phi)}{a(\theta, \phi)}\right) \right]^{-1}$$

$a(\theta, \phi)$  opisuje difuznost površine, ovisi o kutevima.

Woods-Saxon potencijal nema analitička rješenja. Kao prvu aproksimaciju, potencijal aproksimiramo deformiranim harmoničkim oscilatorom.

## ANIZOTROPNI HARMONIČKI OSCILATOR

$$h_0 = -\frac{\hbar^2}{2m} \nabla^2 + \frac{m}{2}(\omega_x^2 x^2 + \omega_y^2 y^2 + \omega_z^2 z^2)$$

FREKVENCIJE:  $\omega_k = \bar{\omega}_0 \frac{R_0}{a_k}$   $(k \equiv x, y, z)$

←  
poluosi elipsoida

Nuklearna materija ima jako visok koeficijent nestlačivosti => konstantan volumen na svim vrijednostima deformacije:

$$V = \frac{4}{3}\pi a_x a_y a_z$$

$$V = \frac{4}{3}\pi R_0^3$$

← polumjer sferične jezgre jednakog volumena

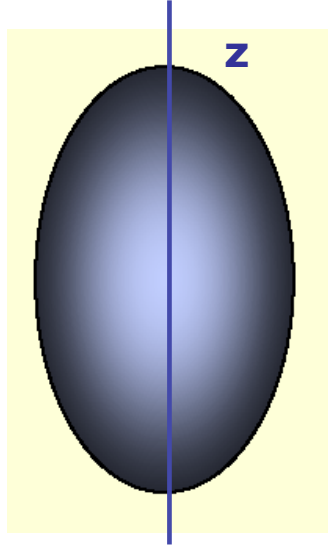
→  $\omega_x \omega_y \omega_z = \text{const.} = \bar{\omega}_0^3$

Svojstveni vektori određeni su kvantnim brojevima:  $n_x, n_y, n_z$

Svojstvene vrijednosti:

$$\epsilon_0(n_x, n_y, n_z) = \hbar \omega_x (n_x + \frac{1}{2}) + \hbar \omega_y (n_y + \frac{1}{2}) + \hbar \omega_z (n_z + \frac{1}{2})$$

**AKSIJALNA SIMETRIJA:** izabiremo z-os kao os simetrije i uvodimo parametar deformacije  $\delta$  definiran na slijedeći način:



$$\omega_z = \omega_0 \sqrt{1 - \frac{4}{3}\delta} = \bar{\omega}(1 - \frac{2}{3}\delta)$$

$$\omega_{\perp} = \omega_0 \sqrt{1 + \frac{2}{3}\delta} = \bar{\omega}(1 + \frac{1}{3}\delta)$$

$$\bar{\omega} = \frac{1}{3}(\omega_x + \omega_y + \omega_z) = \frac{1}{3}(2\omega_{\perp} + \omega_z) \approx \omega_0$$

$$a_x = a_y \neq a_z \quad \delta = \frac{\omega_{\perp} - \omega_z}{\bar{\omega}}$$

**S.G. Nilsson** -oscilatorska duljina kao funkcija deformacije:

$$b(\delta) = \sqrt{\frac{\hbar}{m\omega_0(\delta)}}$$

-bezdimenzionalne koordinate  $\vec{r}' = \frac{\vec{r}}{b}$

→  $h_0(\delta) = \hbar\omega_0(\delta) \left[ -\frac{1}{2}\nabla'^2 + \frac{1}{2}r'^2 - \frac{1}{3}\sqrt{\frac{16\pi}{5}}\delta r'^2 Y_{20}(\theta', \phi') \right]$

sferični izotropni oscilator + kvadrupolna deformacija

**CILINDRIČNE KOORDINATE:** svojstveni vektori hamiltonijana anizotropnog harmoničkog oscilatora (aksijalna simetrija) određeni su kvantnim brojevima:

$n_z, n_\rho, m_l$

projekcija orbitalnog ang.  
momenta na os simetrije

Glavni oscilatorski kvantni broj:

$$N = n_z + 2n_\rho + m_l = n_x + n_y + n_z$$

Svojstvene vrijednosti:

$$\begin{aligned} \epsilon_0(n_z, n_\rho, m_l) &= \hbar\omega_z\left(n_z + \frac{1}{2}\right) + \hbar\omega_{\perp}(n_x + n_y + 1) \\ &= \hbar\omega_z\left(n_z + \frac{1}{2}\right) + \hbar\omega_{\perp}(2n_\rho + m_l + 1) \\ &\approx \hbar\bar{\omega}_0 \left[ \left(N + \frac{3}{2}\right) + \delta\left(\frac{N}{3} - n_z\right) \right] \end{aligned}$$

Aksijalna simetrija => projekcije angулarnih momenata na os simetrije su dobri kvantni brojevi. Projekcija ukupnog angулarnog momenta:

$$\Omega = m_l + m_s = m_l \pm \frac{1}{2}$$

Svojstvena stanja hamiltonijana anizotropnog harmoničkog oscilatora s aksijalnom simetrijom određena su skupom **NILSSONOVIH KVANTNIH BROJEVA**

$$\Omega\pi [N n_z m_l]$$

Paritet:  $\pi = (-1)^l = (-1)^N$

**PRIMJER: N=3**

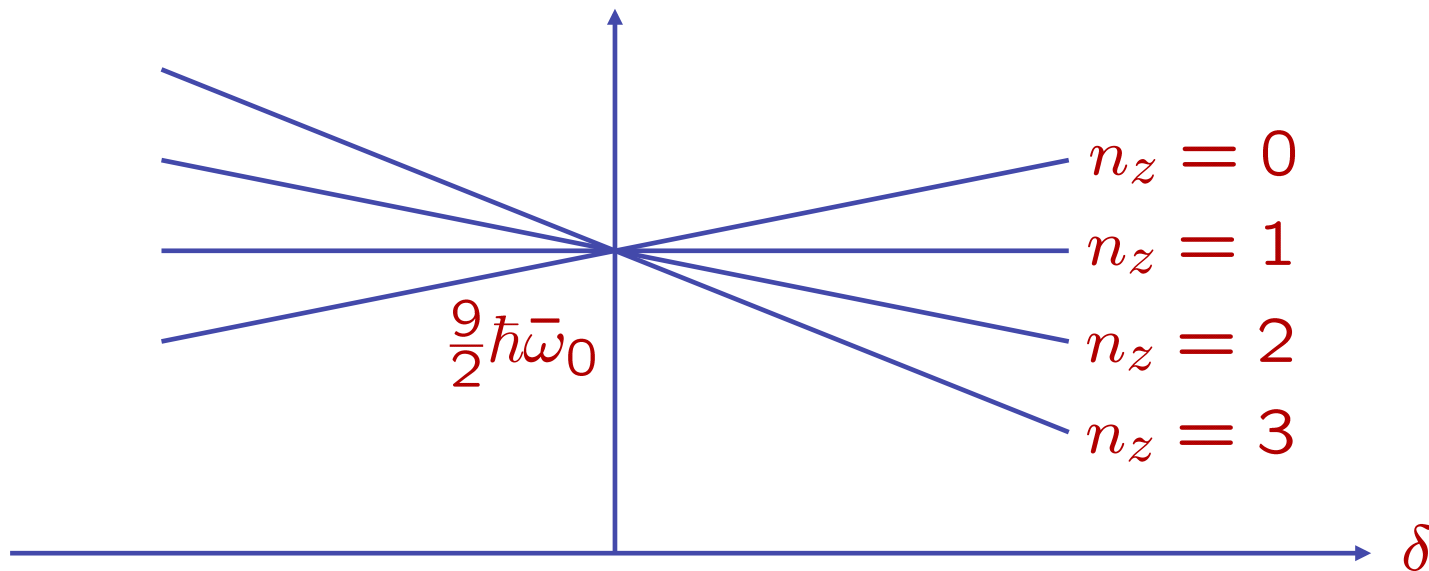
$$N = n_z + 2n_\rho + m_l$$

$n_z$	$m_l$	$n_\rho$	$2\Omega$	DEG.
0	1	1	1, 3	2
	3	0	5, 7	2
1	0	1	1	1
	2	0	3, 5	2
2	1	0	1,3	2
3	0	0	1	1

Degeneracija ljudske N:  
 $\frac{1}{2}(N + 1)(N + 2)$

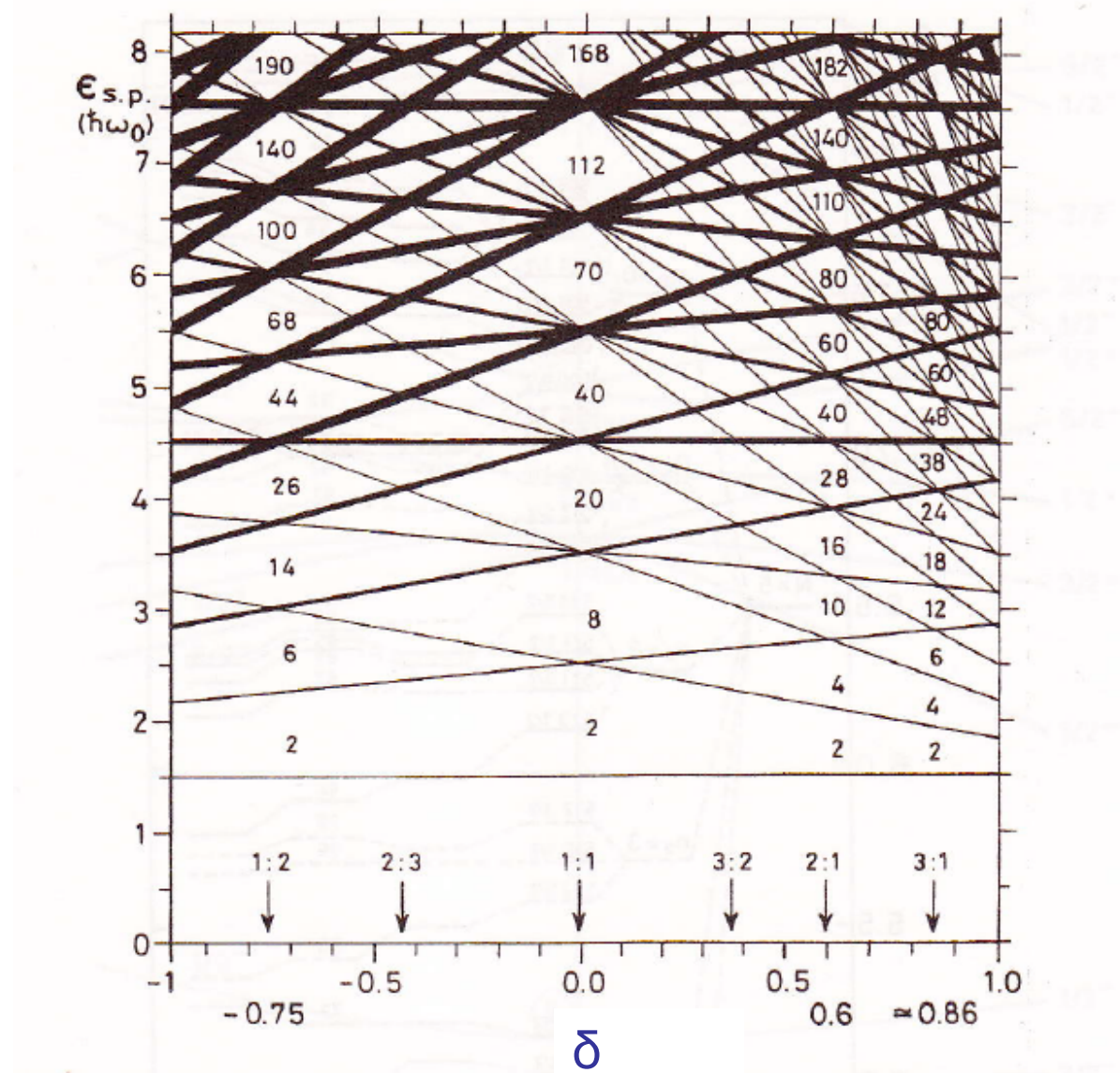
Degenerirana stanja  $\pm\Omega$

$$\epsilon_0^{N=3}(n_z, n_\rho, m_l) \approx \frac{9}{2}\hbar\bar{\omega}_0 + \hbar\bar{\omega}_0\delta(1 - n_z)$$



Za male deformacije (članovi linearni u  $\delta$ ) stanja različitih  $n_z$  rascijepljena su proporcionalno  $\delta$ .

Jednočestična stanja za harmonički oscilator sa aksijalnom simetrijom kao funkcija parametra deformacije. Naznačeni su magični brojevi dobiveni za različite deformacije.



## NILSSONOV HAMILTONIJAN:

- 1) U jednočestični potencijal anizotropnog harmoničkog oscilatora treba dodati spin-orbit član da bi se reproducirali magični brojevi.
- 2) Za teške jezgre srednji jednočestični potencijal manje je zakrivljen nego potencijal harmoničkog oscilatora. Nukleoni u stanjima većih angularnih momenata osjećaju dublji potencijal nego u slučaju harmoničkog oscilatora. Treba dodati odgovarajući član koji spušta stanja većeg angularnog momenta.

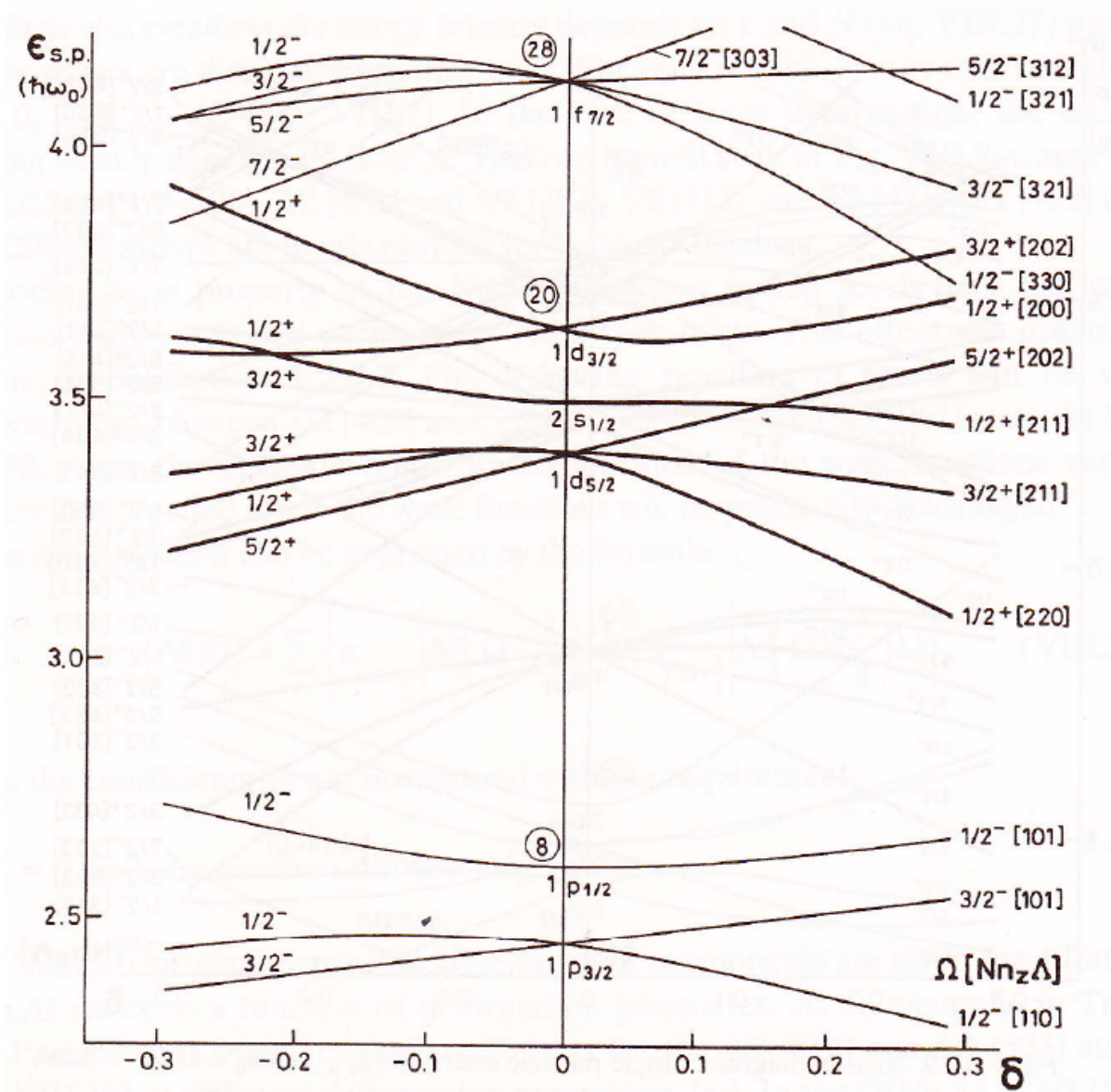
$$\begin{aligned}
 h &= -\frac{\hbar^2}{2m} \nabla^2 + \frac{m}{2} \omega_{\perp}^2 (x^2 + y^2) + \frac{m}{2} \omega_z^2 z^2 + C \vec{l} \cdot \vec{s} + D \vec{l}^2 \\
 &= \hbar \omega_0(\delta) \left( -\frac{1}{2} \nabla'^2 + \frac{1}{2} r'^2 - \beta r'^2 Y_{20} \right) - \kappa \hbar \bar{\omega}_0 (2 \vec{l} \cdot \vec{s} + \mu \vec{l}^2) \\
 C &= -2\kappa \hbar \bar{\omega}_0 \quad D = -\kappa \mu \hbar \bar{\omega}_0 \quad \beta = \frac{1}{3} \sqrt{\frac{16\pi}{5}} \delta + \dots
 \end{aligned}$$

1) Članovi hamiltonijana  $\vec{l} \cdot \vec{s}$ ,  $\vec{l}^2$  nisu dijagonalni u bazi:  $(n_z, n_{\rho}, m_l)$

Jedini kvantni brojevi koji su sačuvani i koji određuju svojstvene vektore Nilsson hamiltonijana:

$$\pi, \Omega$$

2) Za velike deformacije, članovi  $\vec{l} \cdot \vec{s}$ ,  $\vec{l}^2$  mogu se zanemariti u usporedbi s  $\beta Y_{20}$  U ovoj granici kvantni brojevi anizotropnog harmoničkog oscilatora postaju dobri kvantni brojevi => **ASIMPOTSKI KVANTNI BROJEVI**

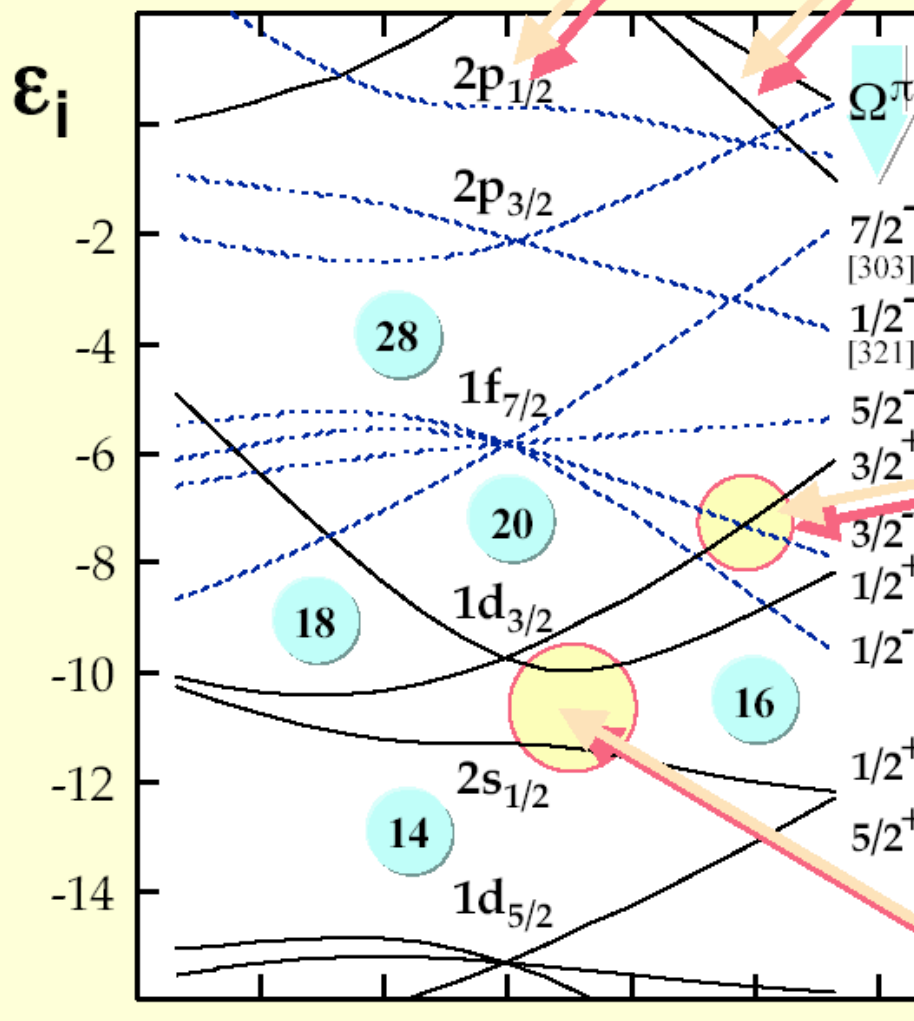


**Nilssonov dijagram:**  
jednočestična stanja  
u ovisnosti o deformaciji

Nilssonov hamiltonijan ne sadrži eksplicitno Coulomb Član. Efekti elektromagnetske interakcije uključuju se prikladnim izborom konstanti  $\kappa$  i  $\mu$ .

Ljuska koja je za deformaciju  $\beta=0$  određena ukupnim angularnim momentom  $j$ , za  $\beta \neq 0$  rascjepi se u  $(2j+1)$  dvostruko degeneriranih stanja  $\pm \Omega$ . Utjecaj kvadrupolnog polja  $\beta Y_{20}$   $\Rightarrow$  stanja s manjim vrijednostima  $\Omega$  niža su u energiji za pozitivne deformacije, a rastu za negativne deformacije.

## Deformed Woods-Saxon potential



Spherical labels  
( $nlj$ )

High- $j$  intruders

Asymptotic labels  
[ $Nn_z\Lambda$ ]

Real crossing

$$\frac{d\epsilon_i}{d\beta} = -\langle i|\hat{q}|i\rangle$$

Virtual crossing  
between orbitals  
with the same  
quantum numbers

Deformation  
parameter